

## О фазовой диаграмме развития неустойчивости массивной заряженной поверхности жидкого гелия

В. Шикин

Институт физики твердого тела РАН, п. Черноголовка Московской обл., 142432, Россия  
E-mail: shikin@issp.ac.ru

Статья поступила в редакцию 5 марта 2003 г.

Существующая трактовка развития неустойчивости массивной заряженной поверхности гелия нуждается в определенной коррекции, сближающей данное явление с известными процессами спинодального и бинодального распадов в теории фазовых превращений первого рода. Обсуждаются особенности развития неустойчивости заряженной поверхности гелия, обладающие признаками спинодального (бинодального) распадов, и построена качественная фазовая диаграмма для таких переходов на плоскости с координатами поверхностная плотность электронов – электрическое поле над заряженной  $2D$  электронами плоскостью.

Існуюча трактовка розвитку нестійкості масивної зарядженої поверхні гелю потребує визначеної корекції, що зближує дане явище з відомими процесами спінодального та бінодального розпадів у теорії фазових перетворень першого роду. Обговорюються особливості розвитку нестійкості зарядженої поверхні гелю, що мають ознаки спінодального (бінодального) розпадів, та побудовано якісну фазову діаграму для таких переходів на площині з координатами поверхнева густина електронів – електричне поле над зарядженою  $2D$  електронами площиною.

PACS: 67.40.Jg

Задача о неустойчивости и реконструкции заряженной поверхности гелия относится к разряду хорошо освоенных. Первоначальные результаты Френкеля – Тонкса [1–3] о колебаниях и устойчивости поверхности заряженной металлической жидкости были перенесены на поверхность гелия с  $2D$  электронами в работах Горькова, Черниковой [4,5]. В дальнейшем эти же авторы развили теорию эквипотенциальной реконструкции заряженной поверхности жидкости (см. [6]). Речь идет о переходе от плоского к периодическому, гофрированному состоянию заряженной границы жидкости. Теория предсказывает тип возникающей решетки, ее период, амплитуду гофрировки и т.д. Возмущенная поверхность жидкости при этом остается электрически эквипотенциальной.

В альтернативной картине реконструкции заряженная поверхность гелия развивается на систему отдельных многоэлектронных лунок (Шикин, Лейдерер [7]). Каждая из них имеет заряженное ядро, за пределами которого жидкость нейтральна. Взаимодействие между лунками может выстраивать их в различные кластеры и, в частности, способствовать их периодичному распределению вдоль поверхности.

Несмотря на длительное «существование», до сих пор первичность эквипотенциальной реконструкции не подвергалась сомнению. Этому способствовала работа Мельникова и Мешкова [8], в которой показано, что при нарастании надкритичности (превышение электрического поля над критическим) в условиях сохранения полного числа электронов эквипотенциальная реконструкция сменяется луночной.

Эксперименты, выполненные в основном с использованием электронов над гелием, находятся в хорошем соответствии с предсказаниями [1–5] о границах устойчивости заряженной поверхности жидкости (см. [9]). Позднее был изучен с подтверждением всех ожидаемых деталей наиболее интересный участок закона дисперсии ее колебаний, критически чувствительный к электронной плотности [10]. И, наконец, доказано существование периодического [11] и апериодичного [12] вариантов реконструкции жидкой, проводящей границы.

Однако не все благополучно в обсуждаемой картине. Прежде всего, расчеты эквипотенциальной периодической реконструкции, выполненные с привлечением теории возмущений, использующей ма-

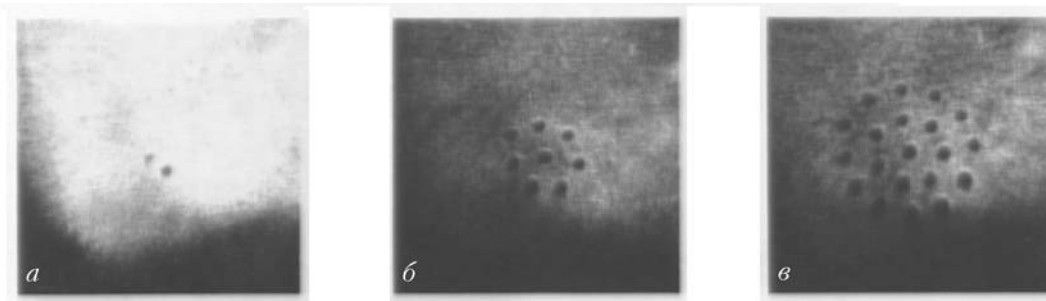


Рис. 1. Система отдельных многоэлектронных лунок, возникающих на слабо заряженной поверхности гелия при монотонном росте полного числа электронов (из [12]).

лость амплитуды гофрировки поверхности по сравнению с капиллярной длиной, справедливы лишь в области слабой заряженности поверхности гелия, когда имеет место так называемый мягкий режим реконструкции (амплитуда возмущения много меньше капиллярной длины, терминология [6]). Заряженностью поверхности жидкости называется отношение  $v$  средней плотности  $2D$  электронов  $n_s$  к ее критическому значению  $n_s^{\max}$  (см. (10)). В то же время экспериментальное наблюдение [11] периодической реконструкции вдоль всей доступной поверхности гелия возможно лишь в окрестности максимальных значений  $v \leq 1$ , когда реализуется жесткий режим реконструкции (амплитуда гофра имеет масштаб капиллярной длины). Такое несоответствие, конечно, не принципиально, если бы не факт номер два. При малых значениях  $v \ll 1$  наблюдаемая реконструкция непериодична. Поверхность гелия не покрывается здесь периодическим гофром, заполняющим все жидкое зеркало, как это следует из предсказаний [6,8]. Вместо этого электроны собираются в одну или несколько многоэлектронных лунок, занимающих лишь небольшую часть общей поверхности гелия. Для иллюстрации на рис. 1 приведена картина луночной реконструкции из [12] в области  $v \ll 1$  при постепенном увеличении  $v$ . Очевидно, луночный сценарий реконструкции энергетически более выгоден, и это обстоятельство требует осмысления.

В данной работе показано, что процесс реконструкции обнаруживает свойства фазового перехода 1-го рода. Для превращений такого типа пересечение химических потенциалов конкурирующих фаз определяет точку (линию) бинодальной устойчивости, в окрестности которой фаза-фаворит зарождается флюктуационным образом. Этот процесс в случае гелия представлен зарождением многоэлектронных лунок на фоне однородного, близкого критическому, заряженного состояния жидкой поверхности. Кроме того, имеется точка (линия) абсолютной неустойчивости (спинодаль), которая возникает в динамических уравнениях перехода и проявляет себя без всяких пороговых ожиданий. Для

заряженной жидкости спинодалью является порог динамической неустойчивости Френкеля – Тонкса. На фазовой диаграмме бинодаль, как правило, имеет больший фазовый объем, хотя для появления зародышей необходимо активационное время. Спинодальный переход стимулируется резким скачком какого-либо внешнего параметра в спинодальную область диаграммы, после чего должно происходить характерное экспоненциальное во времени развитие неустойчивости. Вопрос о точках существования бинодали и спинодали не имеет общего решения. Иногда такое бывает, иногда – нет.

Если предлагаемая картина верна, то все имеющиеся к настоящему времени эксперименты с реконструкцией заряженной поверхности гелия выполнены в бинодальной области. При малых факторах заполнения речь идет о появлении лишь отдельных лунок. С ростом  $v$  лунки объединяются в луночные комплексы (клusterы) с внутренней периодичностью (рис. 1, б, в). В области  $v \rightarrow 1$  площадь клустера стремится к полной площади жидкого зеркала. Что касается спинодального распада, то его еще предстоит обнаружить.

**1.** Переходя к конкретным результатам, обсудим сначала свойства спинодали. Рассмотрим систему, приведенную на рис. 2. Электрические поля  $E_-$  над и  $E_+$  под заряженной поверхностью гелия равны

$$E_- = \frac{V}{h} - 4\pi\sigma \frac{d}{h}, \quad (1)$$

$$E_+ = \frac{V}{h} + 4\pi\sigma \frac{(h-d)}{h}, \quad (2)$$

где  $\sigma = en_s$ ,  $V$  – разность потенциалов между пластинами ячейки.



Рис. 2. Схема ячейки с  $2D$  электронной системой и геометрическими обозначениями.

В условиях полной экранировки внешнего поля над гелием, когда  $E_- = 0$  и, следовательно,

$$4\pi\sigma = \frac{V}{d}, \quad (3)$$

напряженность  $E_+$  оказывается равной

$$E_+ = \frac{V}{d}. \quad (4)$$

При заданных  $d_0$  и  $V$ , где  $d_0$  — толщина пленки гелия в отсутствие внешнего поля, поверхность гелия прогибается под действием электронного давления  $P_{el} = E_+^2/8\pi$  на глубину

$$\xi_\infty = d - d_0, \quad (5)$$

величина которой определяется условиями механического равновесия и сохранения полного объема жидкости:

$$\rho g \xi_\infty + \frac{V^2}{8\pi d_0^2} = \rho g \xi_0, \quad (6)$$

$$L^2 \xi_\infty + (L_0^2 - L^2) \xi_0 = 0, \quad L_0 > L, \quad (7)$$

$$|\xi_\infty| \ll d_0.$$

Здесь  $\rho$  и  $g$  — плотность жидкого гелия и ускорение силы тяжести,  $L$  — радиус электронного диска на поверхности гелия,  $L_0$  и  $\xi_0$  — радиус и деформация жидкой поверхности за пределами электронного диска.

Совместное решение уравнений (6), (7) дает

$$\xi_\infty = -\frac{V^2}{8\pi\rho g^* d_0^2}, \quad g^* = g \left( 1 + \frac{L^2}{L_0^2 - L^2} \right). \quad (8)$$

В условиях  $\xi_\infty \ll d_0$  деформация поверхности гелия для дальнейших рассуждений несущественна.

В терминах  $E_-$ ,  $E_+$  динамическая устойчивость заряженной жидкости определена условием

$$(4\pi e n_s)^2 + (E_+ + E_-)^2 = 16\pi\kappa\alpha, \quad \kappa^2 = \frac{\rho g}{\alpha}, \quad (9)$$

где  $E_-$ ,  $E_+$  — из (1), (2);  $\alpha$  — поверхностное натяжение жидкого гелия,  $\kappa^{-1}$  — капиллярная длина. В данной задаче реально независимы разность потенциалов  $V$  и плотность электронов  $n_s$ . Однако наглядность фазовой диаграммы на рис. 3 в «координатах»  $(n_s, E_-)$  приводит к несколько искусственно му выбору именно этих переменных в качестве независимых.

Если  $E_- = 0$  (полная экранировка), то

$$E_+ = \frac{V}{d} \equiv 4\pi e n_s^{\max},$$

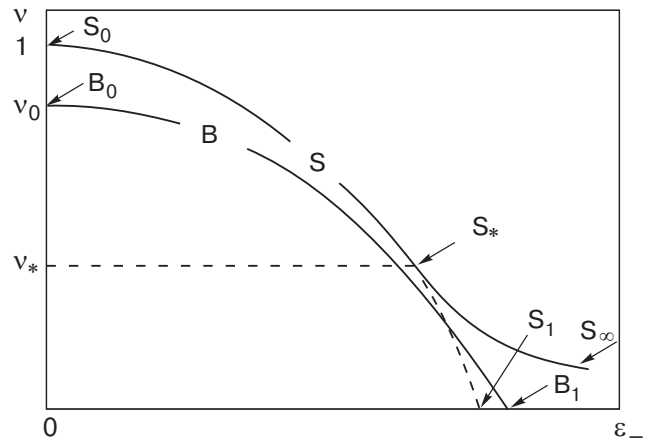


Рис. 3. Схематическая фазовая диаграмма для реконструкции заряженной поверхности гелия. На спинодали (линия  $S$ ) отмечены точки:  $S_0$  — асимптотика (12а),  $S_*$  — точка «ветвления» в определении спинодали (см. комментарии к формуле (16)),  $S_1$  — абстрактная точка (12б) из эвипотенциального «багажа»,  $S_\infty$  — асимптотика (16). Бинодаль представлена линией  $B$ . На ней помечены точки  $B_0$  — положение бинодали, согласно оценкам (22) ( $v_0 = \sqrt{16,52/8\pi} = 0,81$ ),  $B_1$  — окончание бинодали в области  $v \rightarrow 0$  (оценка (19)). Область устойчивости занимает сектор между началом координат и бинодалью.

и равенство (9) определяет максимальную плотность  $n_s^{\max}$  электронов над гелием:

$$\sigma_{\max}^2 = \frac{\kappa\alpha}{2\pi} + (E_+^{\max})^2 = 8\pi\kappa\alpha. \quad (10)$$

Вводя фактор заполнения

$$v = \frac{\sigma}{\sigma_{\max}}, \quad (11)$$

приводим соотношение (9) к виду

$$v^2 + (\varepsilon_+ + \varepsilon_-)^2 = 2, \quad \varepsilon_\pm = \frac{E_\pm}{4\pi\sigma_{\max}}. \quad (12)$$

На фазовой плоскости  $(v, \varepsilon_-)$  кривая  $v(\varepsilon_-)$  (12) играет роль спинодали. Если  $\varepsilon_- \rightarrow 0$ , то

$$v(\varepsilon_- \rightarrow 0) \rightarrow 1. \quad (12a)$$

В обратном пределе  $v \rightarrow 0$

$$\varepsilon_-(v \rightarrow 0) = \varepsilon_+(v \rightarrow 0) \rightarrow 1/\sqrt{2}. \quad (12b)$$

Положение точек (12а), (12б) на спинодали « $S$ » (рис. 3) отмечено символами  $S_0$ ,  $S_1$ .

Предел (12б) в определении (12) в действительности не имеет реального смысла, так как на пути к нему перестает выполняться условие эвипотенциальности деформированной поверхности гелия. Существуют разные оценки положения этой границы, хотя конкретные расчеты закона дисперсии в пере-

ходной области отсутствуют. Для ориентировки можно полагать, что эквипотенциальность пропадает в области

$$V_C \leq T, \quad V_C \sim e^2 \sqrt{n_s}. \quad (13)$$

Для  $T \leq 1$  К переходная область для электронной плотности имеет масштаб  $n_s^* \leq 10^6 \text{ см}^{-2}$ .

В условиях  $n_s < n_s^*$  задача о колебаниях заряженной поверхности гелия должна решаться заново без использования свойств ее эквипотенциальности. Подходящей альтернативой, учитывающей влияние деформации жидкой границы на электронную плотность  $n(x)$ , является требование

$$n(x) = n_s \exp[-eE_\perp \xi(x)/T], \quad (14)$$

где  $\xi(x)$  — амплитуда колебаний заряженной поверхности,  $E_\perp$  — прижимающее электрическое поле.

С учетом (14) (точнее, его линейного разложения, когда  $eE_\perp \xi(x) < T$ ) и электронного давления на поверхность гелия  $P_{\text{el}} = eE_\perp n(x)$  закон дисперсии малых колебаний заряженной поверхности принимает вид

$$\frac{\rho\omega^2}{\alpha} = (\kappa^2 - \eta^2)q + \alpha q^3, \quad \eta^2 = \frac{n_s E_\perp^2}{\alpha T}. \quad (15)$$

Как и в задаче Френкеля—Тонкса, колебания с законом дисперсии (15) теряют устойчивость. Но это происходит в другой области, а именно

$$\eta^2 > \kappa^2, \quad E_\perp \simeq V/h. \quad (16)$$

Согласно (16), для достижения неустойчивости слабо заряженной поверхности гелия нужно использовать поле, которое увеличивается с уменьшением  $n_s$ , как  $E_\perp \propto n_s^{-1/2}$ . Это утверждение качественно отлично от «эквипотенциальных» предсказаний (см. асимптотику (126)). Следовательно, асимптотика спинодали в области малых  $v$  заканчивается не в точке  $S_1$ , а протягивается корневым образом вплоть до  $\varepsilon_- \rightarrow \infty$ . Ордината  $v_*$  на рис. 3 отмечает уровень, в окрестности которого происходит переход от (126) к (16).

Следует отметить, что неустойчивость (16) развивается, в первую очередь, на малых волновых числах (а не на капиллярной длине, как в случае (9)).

2. В отличие от спинодали бинодаль процесса реконструкции определяется не очень надежно. Конкурирующими здесь являются энергия лунки и электростатическая энергия конденсатора с  $2D$  электронами, в котором флюктуационно возникла лунка. Неопределенность заключается в оценке оптимального заряда, образующего критическую лунку. Ситуация относительно проста лишь в предельном случае  $v \ll 1$ . Здесь с учетом развития

неустойчивости (16) на малых волновых числах все свободные электроны в момент перехода «скатываются» в лунку. Это происходит в условиях, когда кулоновская энергия  $V_C$  электронной системы, занимающей круг радиусом  $L$  между пластинами конденсатора (рис. 2), достигает энергии  $W$  многоэлектронной лунки с тем же зарядом  $Q$ :

$$V_C = Q^2 \frac{(h-d)d}{L^2 h}, \quad Q = \pi L^2 e n_s, \quad (17)$$

$$W = Q^2 \kappa \left[ s \exp\left(\frac{x^2}{2}\right) \text{Ei}\left(-\frac{x^2}{2}\right) - \frac{1}{x} \right], \quad (18)$$

$$s = \frac{2}{2\kappa R_*}, \quad x = \kappa R, \quad R_*^2 = \frac{\sqrt{\pi}\alpha}{eE_\perp^2}, \quad E_\perp \simeq \frac{V}{h},$$

$\text{Ei}(x)$  — интегральная показательная функция. Величина  $R$  в (18) находится из условия минимума энергии  $W$  по  $R$ .

При  $L \gg h$  энергия  $V_C$  (17) достаточно мала и вместо общего, конкурирующего с  $V_C$ , выражения  $W$  (18) можно воспользоваться его разложением вблизи нулевой точки:

$$W(s_0, x_0) = 0, \quad s_0 = 1,05, \quad x_0 = 0,72,$$

$$W(s, x_0) \simeq \frac{\partial W}{\partial s_0}(s - s_0). \quad (18a)$$

В результате равенство конкурирующих энергий принимает вид

$$Q^2 \frac{(h-d)d}{L^2 h} = \frac{\partial W}{\partial s_0}(s_{\max} - s_0), \quad (19)$$

определяя значение  $s_{\max}$ . Если учитывать малость левой части (19), то величина  $s_{\max}$  близка к  $s_0$ .

Электрическое поле  $E_-^{\max}$ , связанное с величиной  $s_{\max}$  формулами (18), определяет абсциссу на рис. 3, куда «упирается» бинодаль при  $n_s \rightarrow 0$ . Это поле конечно и не зависит от  $n_s$  (величина  $n_s$  выпадает из определения (19)). Следовательно, в пределе  $n_s \rightarrow 0$  бинодаль находится «под» асимптотикой (16) спинодали.

В обратном предельном случае  $E_- \rightarrow 0$  характерные флюктуации развиваются в окрестности волновых чисел  $q \sim \kappa$ . Следовательно, оптимальный заряд  $Q_\kappa$ , приходящийся на одну лунку, имеет масштаб

$$Q_\kappa \simeq \pi \kappa^{-2} e n_s. \quad (20)$$

Противостоит возникновению лунки дипольная энергия  $V_C^\kappa$  для распределения заряда, имеющего вид плоского диска радиусом  $\kappa^{-1}$  с электронной плотностью  $n_s$  и компенсирующего положительного

заряда, локализованного в его центре. Как и в случае (19), равенство

$$V_C^\kappa = W_\kappa \quad (21)$$

не зависит от  $n_s$ . По аналогии с (19) его левая часть содержит дополнительную малость  $(\kappa R)^2$  по сравнению с кулоновской энергией лунки, хотя и не такую серьезную, как в (19). В результате решение уравнения (21) относительно  $s$  снова (как и в случае (19)) дает значение, близкое к  $s_0$ , т.е. полевой порог практически сохраняется на всей бинодали. В размерных единицах это поле равно

$$(E_+^0)^2 = (2\pi)^{3/2} s_0 \kappa a \simeq (16,52 \pm 0,005) \kappa a. \quad (22)$$

Поле  $(E_+^0)^2$  несколько меньше критического поля  $E_{+}^{\max}$  (9), (10) для спинодали.

Ориентируясь на две характерные бинодальные точки (19), (21), (22) и полагая, что искомая кривая на плоскости  $(n_s, E_-)$  не имеет специальных особенностей в промежутке между ее предельными значениями, можно представить бинодаль реконструкции заряженной поверхности гелия в виде, изображенном на рис. 3 (линия *B*).

**3.** Отметим, что две лунки могут находиться в равновесии на конечном расстоянии друг от друга. Взаимодействие  $W_{dd}^b$  между ними содержит кулоновскую и деформационные части

$$W_{dd}^b = -\frac{Q^2 E_\perp^2}{2\pi\alpha} K_0(\kappa r) + \frac{Q^2}{r}. \quad (23)$$

Здесь, как и выше,  $Q$  — полный заряд лунки,  $E_\perp$  — прижимающее поле,  $r$  — расстояние между лунками,  $K_0(x)$  — модифицированная функция Бесселя. Энергия (23) имеет минимум  $\partial W_{dd}^b / \partial r = 0$  в точке  $r_{\min}$ , которую можно определить из

$$K_1(x_m) - x_m^{-2} = 0, \quad x_m = \kappa r_{\min}, \quad x_m \geq 1. \quad (24)$$

Наличие метастабильной связи (24) между лунками качественно поясняет, почему возникающая в ходе бинодального распада 2D заряженной системы совокупность лунок собирается в кластеры, имеющие внутреннюю периодичность с характерной длиной порядка капиллярной.

Резюмируя, можно сказать, что качественно новым в приведенном рассмотрении является объяснение

данных, приведенных на рис. 1, свидетельствующих о возможности апериодичной реконструкции заряженной поверхности гелия. Интересной представляется и возможность «уловить» бинодальные (спинодальные) мотивы в поведении реконструкции заряженной поверхности гелия, что послужило основанием для построения диаграммы (рис. 3).

Работа частично финансирована РФФИ, грант 03 02 16121.

1. Ja. Frenkel, *Z. Sowjetunion* **8**, 675 (1935).
2. L. Tonks, *Phys. Rev.* **48**, 562 (1935).
3. Я. Френкель, *ЖЭТФ* **6**, 347 (1936).
4. Л. Горьков, Д. Черникова, *Письма в ЖЭТФ* **18**, 119 (1973).
5. Д. Черникова, *ФНТ* **2**, 1374 (1976).
6. Л. Горьков, Д. Черникова, *ДАН СССР* **228**, 829 (1976).
7. В. Шикин, П. Лейдерер, *Письма в ЖЭТФ* **32**, 439 (1981).
8. В. Мельников, С. Мешков, *Письма в ЖЭТФ* **33**, 222 (1981).
9. А. Володин, М. Хайкин, В. Эдельман, *Письма в ЖЭТФ* **26**, 707 (1977).
10. P. Leiderer, *Phys. Rev. B* **20**, 4511 (1979).
11. M. Wanner, and P. Leiderer, *Phys. Rev. Lett.* **42**, 315 (1979).
12. P. Leiderer, W. Ebner, and V. Shikin, *Surf. Sci.* **113**, 405 (1982).

### On the phase diagram of instability evolution for a massive charged surface of liquid helium

V. Shikin

The current treatment of instability evolution for a massive charged surface of helium needs a certain correction which would bridge the gap between the effect under consideration and the known processes of spinodal and binodal decomposition in the first-order transition theory. The peculiarities of instability evolution for the helium charged surface which exhibit spinodal (binodal) decomposition features are discussed. A qualitative phase diagram for such transition is constructed on a plane with the coordinates: surface electron density-electric field over the 2D electron-charged plane.